

PMT 5838

Termodinâmica para Metalurgia e Materiais

Flávío Beneduce beneduce@usp.br



1944

$$2x/y < M > + (O_2) = 2/y < M_x O_y >$$

- No equilíbrio:
 - A p_{O2}: de equilíbrio
 - Varia somente com a temperatura (está dentro da constante de equilíbrio)

$$\Delta G_{T} = \Delta G_{T}^{0} + R.T.\ln(K) = 0 \Rightarrow$$

$$\Rightarrow \Delta G_{T}^{0} = -R.T.\ln(\frac{1}{p_{O_{2}}}) = R.T.\ln(p_{O_{2}}) = A + B.T$$



$$2x/y < M > + (O_2) = 2/y < M_x O_y >$$

- Fora do equilíbrio para p₀₂= 1atm
 - Varia somente com a temperatura (está dentro da constante de equilíbrio)

$$\Delta G_{\rm T} = \Delta G_{\rm T}^{\circ} + \text{R. T. ln}(1/p_{\rm O_2}) = \Delta G_{\rm T}^{\circ} + \text{R. T. ln}(1/1) \Rightarrow$$

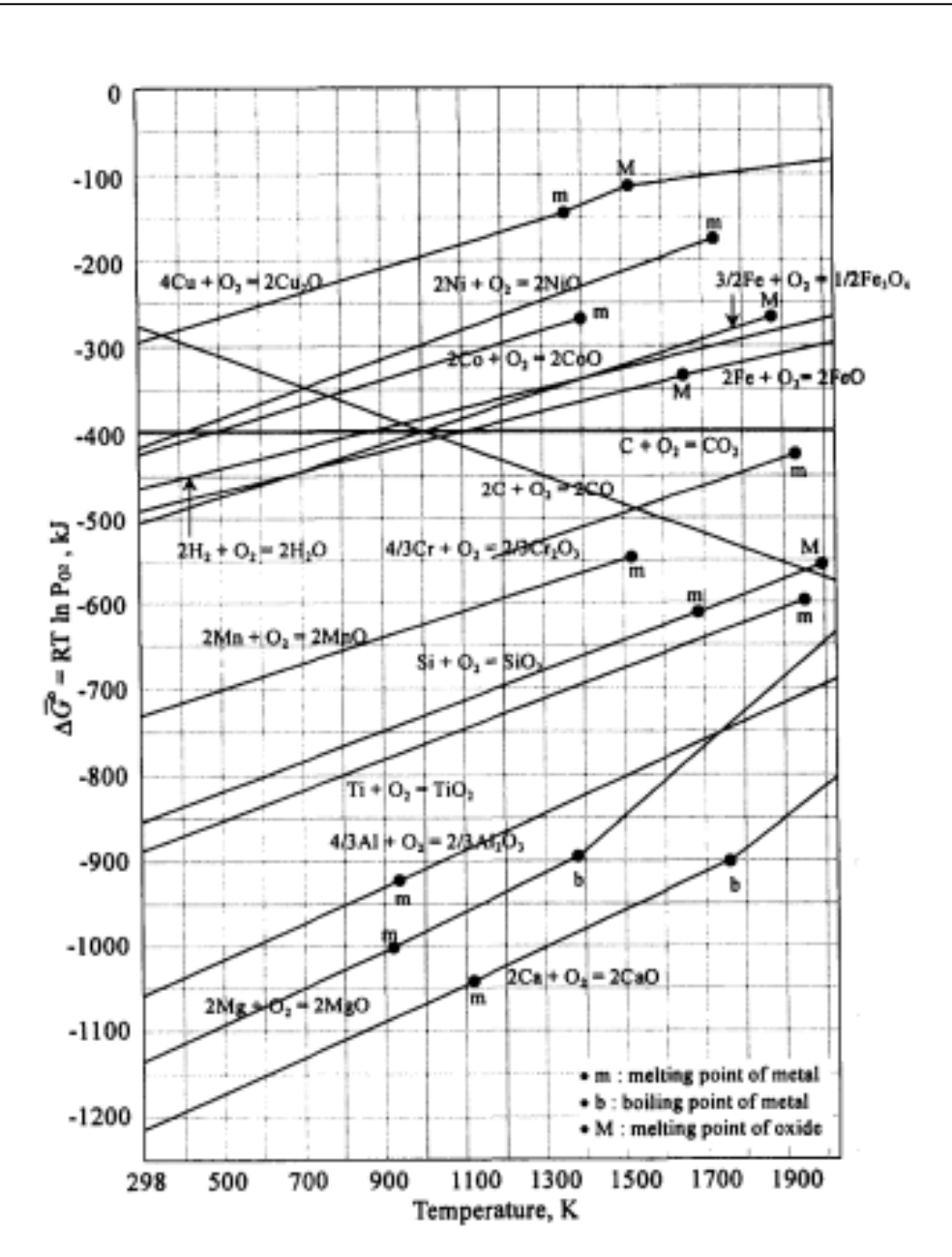
$$\Rightarrow \Delta G_{\rm T} = \Delta G_{\rm T}^{\circ} = A + \text{B. T}$$



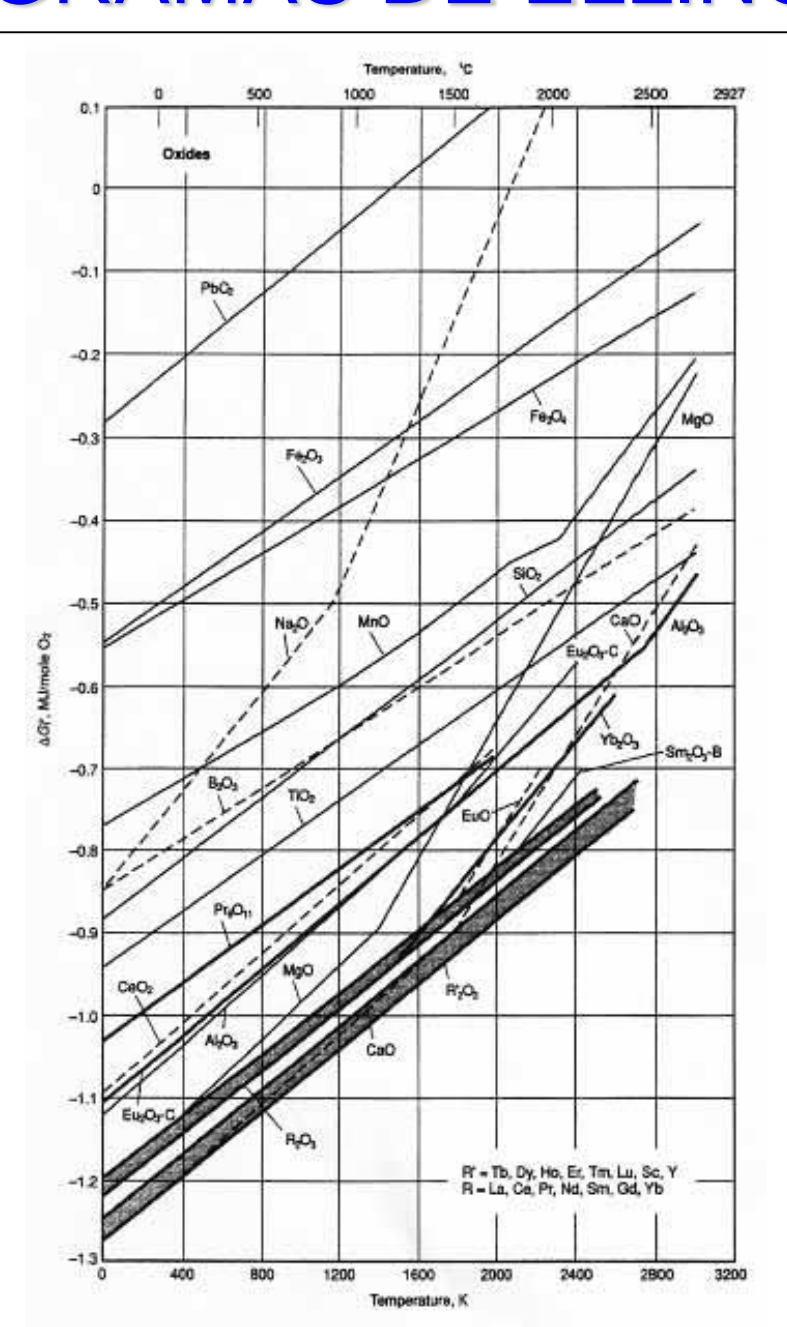
$2x/y < M > + (O_2) = 2/y < M_x O_y >$

- As duas situações podem ser expressas graficamente ΔG°xT e ΔGxT pela mesma equação
 - Para ∆G° obtém-se a p_{O2} de equilíbrio
 - Para ∆G obtém-se a estabilidade relativa
- Deve ser notado que todas as reações têm como base 1 mol de O₂









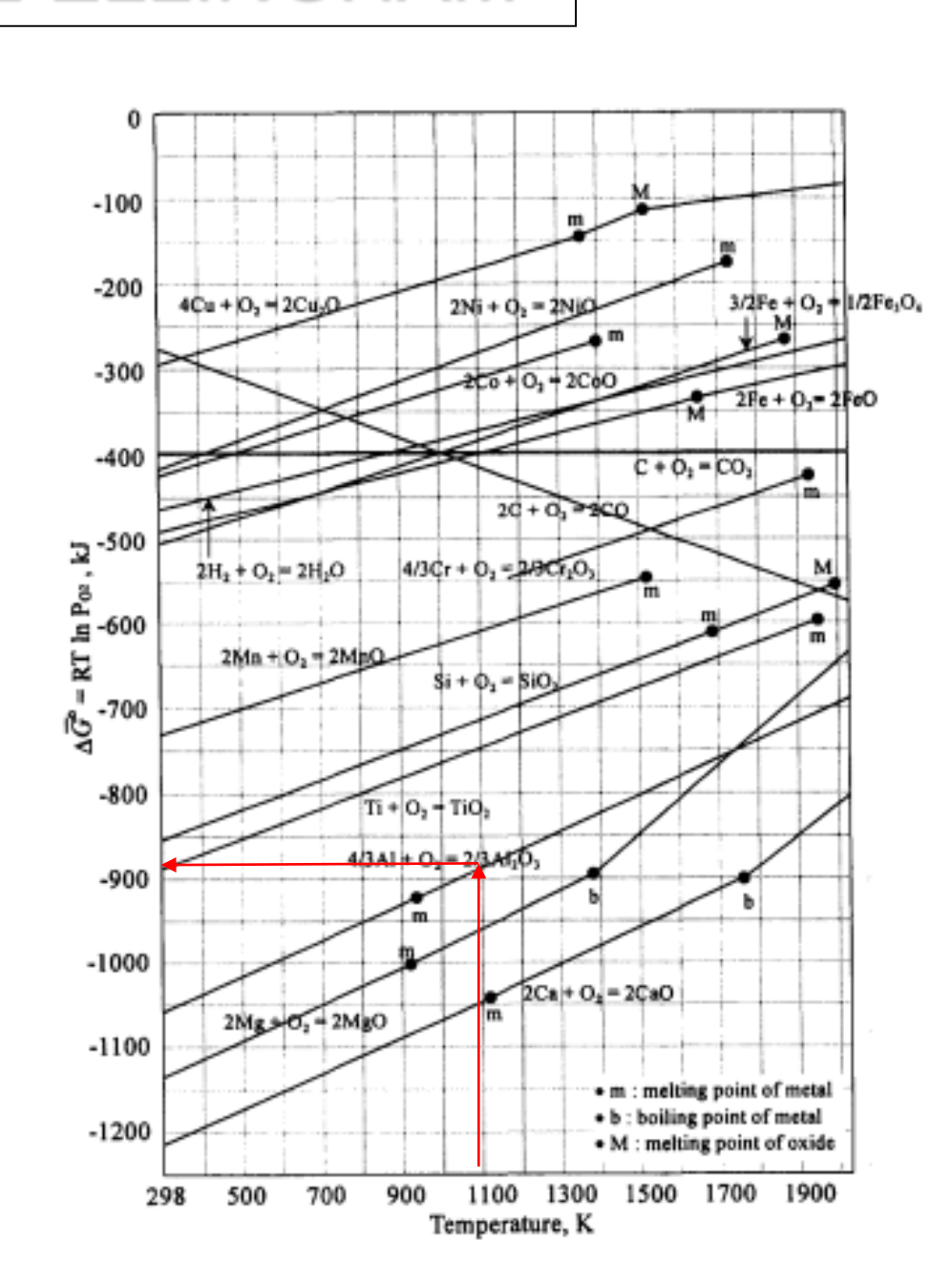


Para ∆G°xT

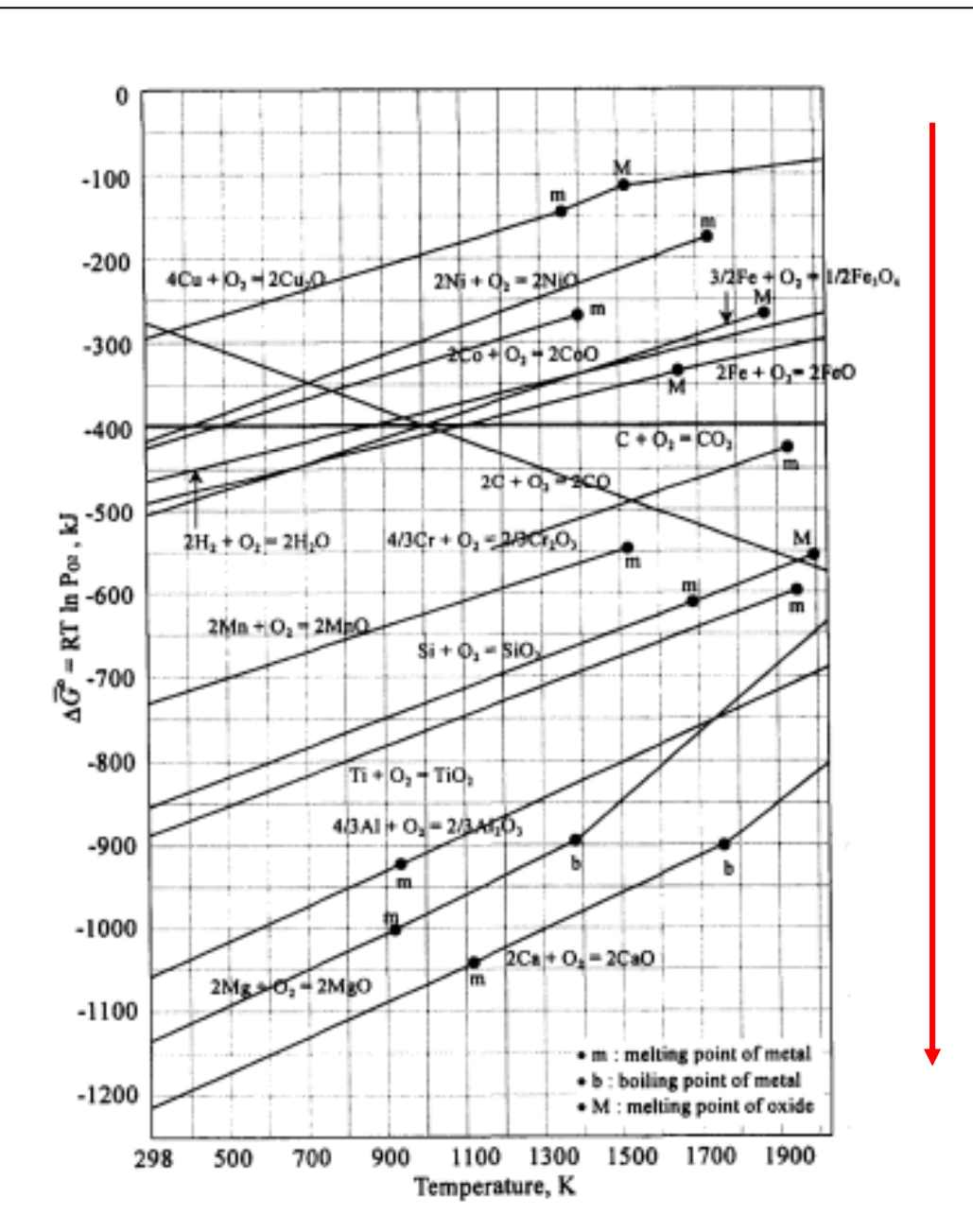
- Para a Al₂O₃ a 800°C:
 - $-\Delta G^{\circ}$ ≃ -880 kJ ou
 - $-R.T.Inp_{O2} = -880.000$
 - $p_{O2} \cong 10^{-42} \text{ atm}$

Para ∆GxT

- Para a Al₂O₃ a 800°C:
 - $-\Delta G \cong -880 \text{ kJ} < 0 \text{ ou}$
 - Reação possível para uma p_{O2}=1atm

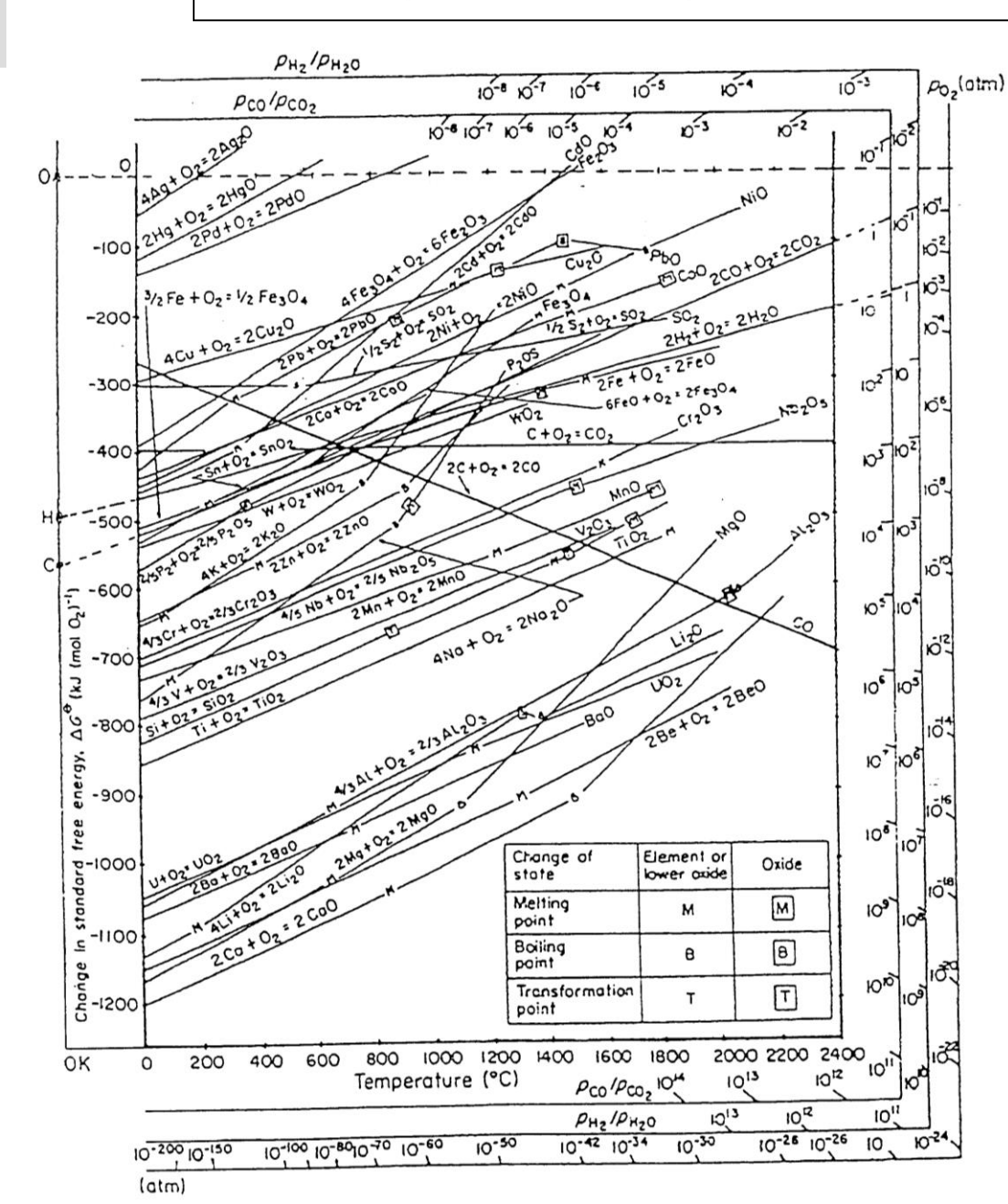






- Estabilidade do óxido
- Poder redutor do metal





Ellingham-Richardson ou Ellingham-Richardson-Jeffes

Inseriram escalas auxiliares para a determinação :

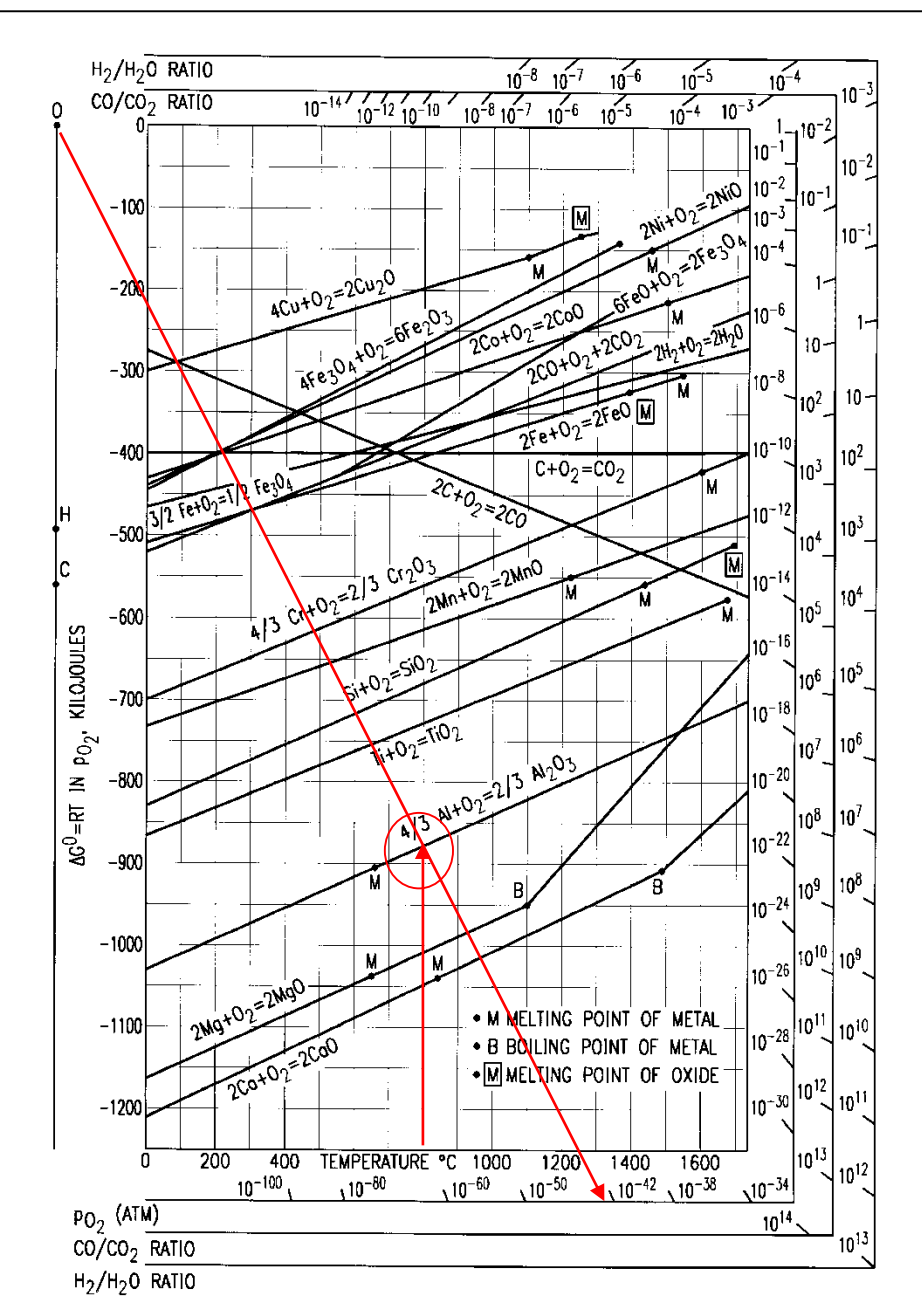
- p_{O2} de equilíbrio
- Relação de equilíbrio CO/CO₂
- Relação de equilíbrio H₂/H₂O



Para a Al_2O_3 a 800°C:

p₀₂ de equilíbrio

10-43



 Notar que qualquer ponto da reta tem a mesma p_{O2}



REAÇÕES DE OXI-REDUÇÃO

(1):
$$2x/y < M > + (CO_2) = 2/y < M_xO_y > + (CO)$$

(2):
$$2x/y < M > + (H_2O) = 2/y < M_xO_y > + (H_2)$$

•
$$K_1=p_{CO}/p_{CO2}$$

Referência: ponto C

•
$$K_2 = p_{H2}/p_{H2O}$$

Referência: ponto H

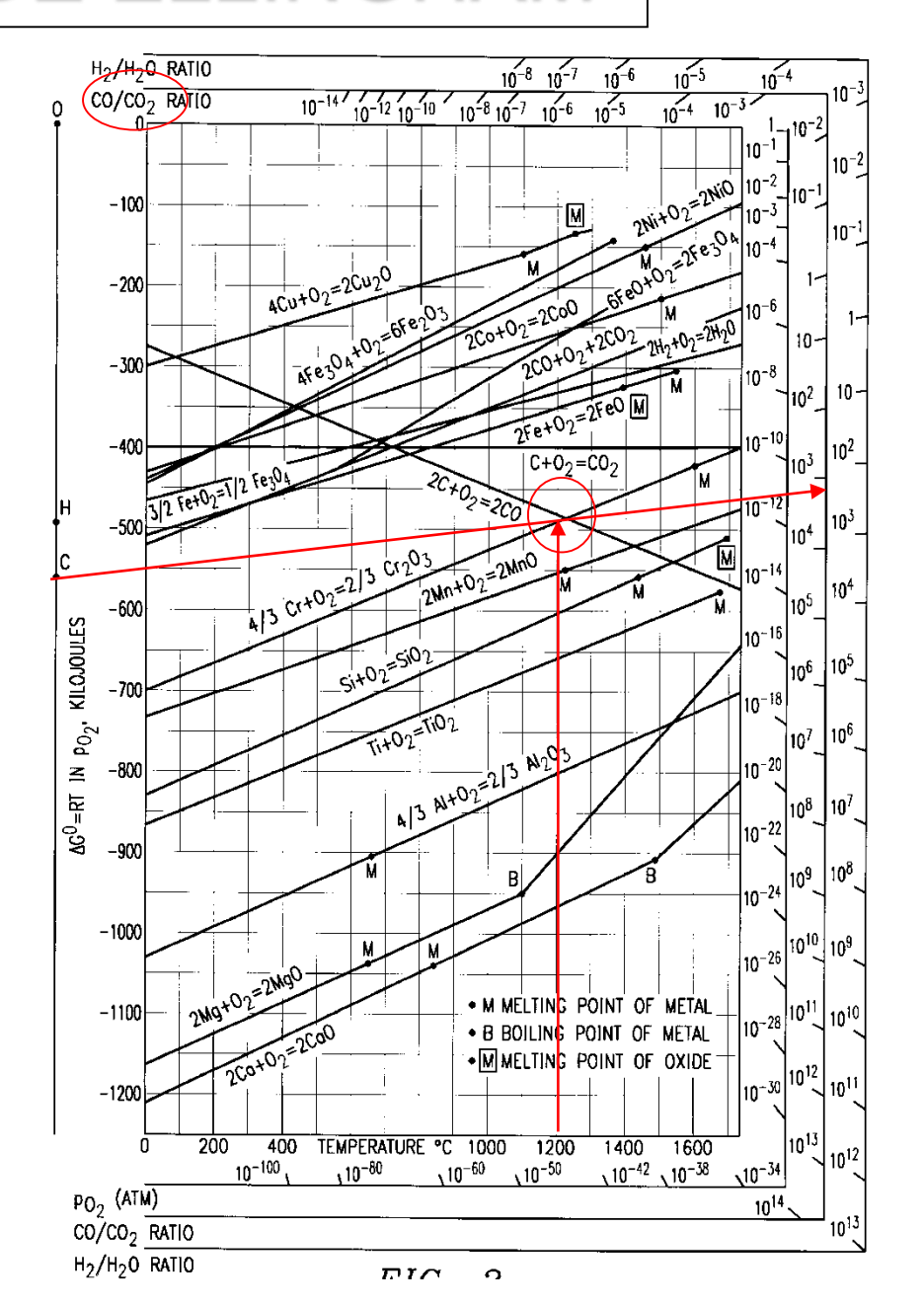


$$2x/y < M > + (CO_2) = 2/y < M_xO_y > + (CO)$$

Relação p_{CO}/p_{CO2} de equilíbrio

Para o Cr₂O₃ a 1220°C:

- $p_{CO}/p_{CO2} = 10^{3.2}$
- Qualquer ponto da reta tem a mesma p_{CO}/p_{CO2}
- T acima da qual o C é redutor



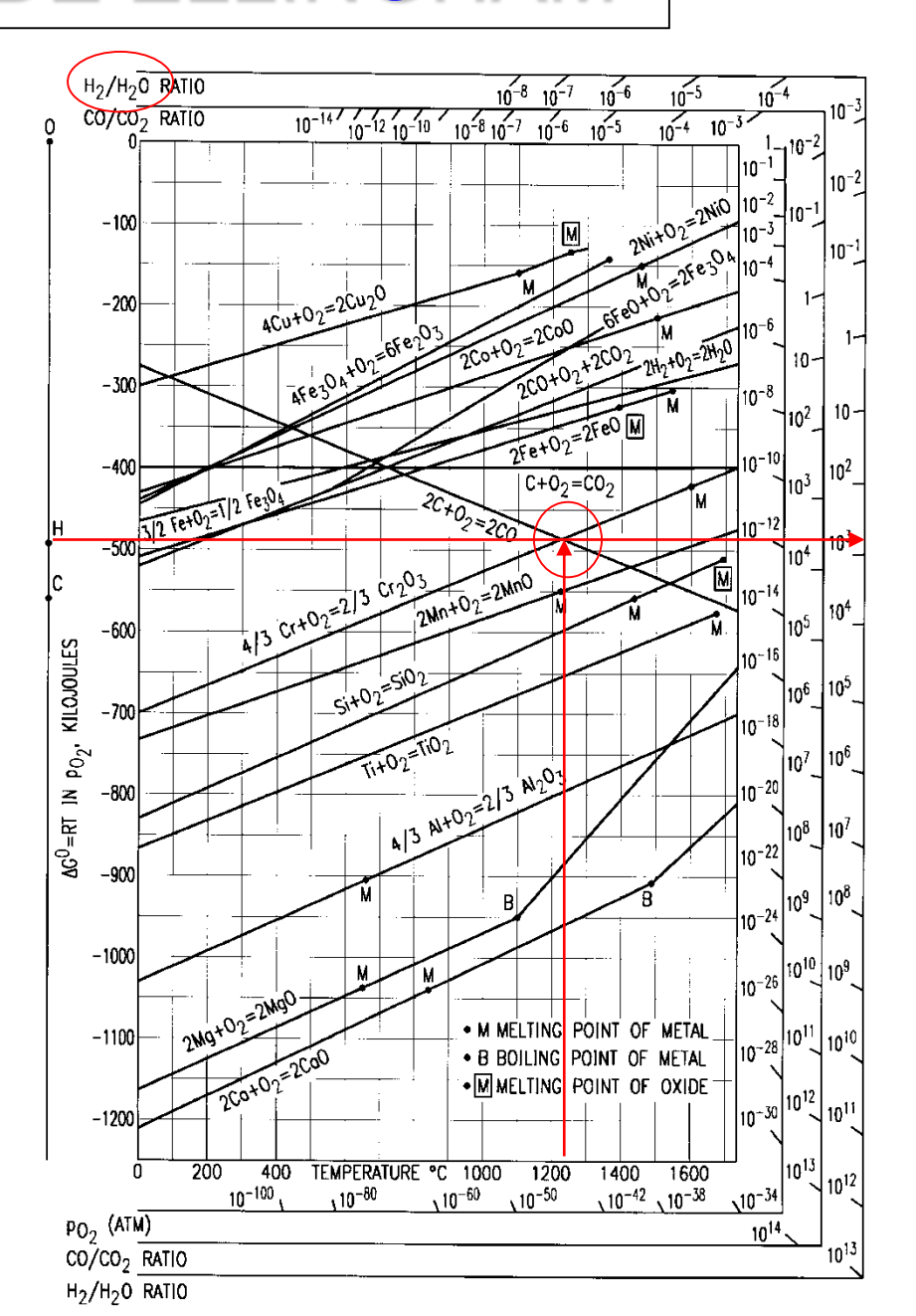


$$2x/y < M > + (H_2O) = 2/y < M_xO_y > + (H_2)$$

Relação p_{H2}/p_{H2O} de equilíbrio

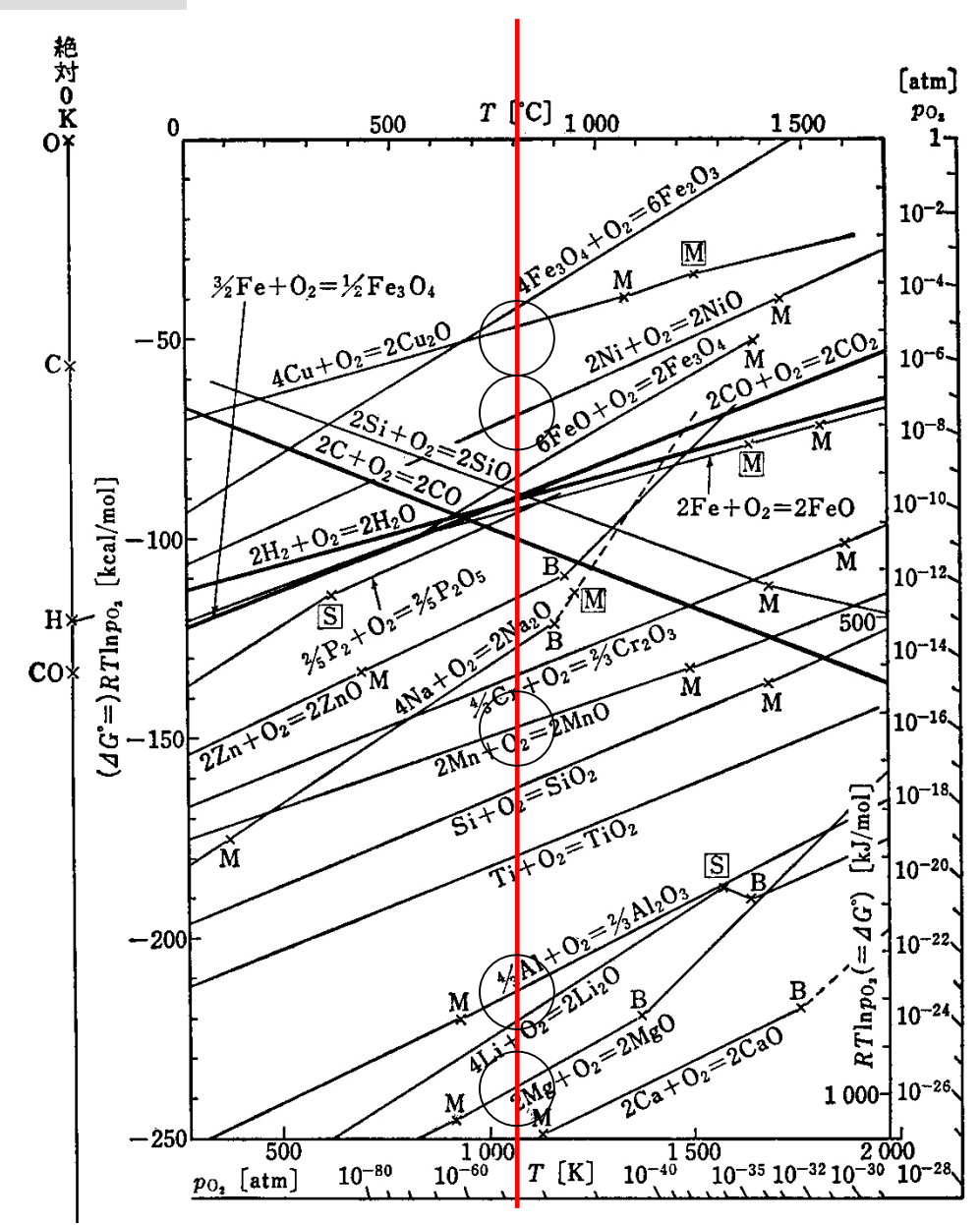
Para o Cr₂O₃ a 1220°C:

- $p_{H2}/p_{H2O} = 10^{2.8}$
- Qualquer ponto da reta tem a mesma p_{H2}/p_{H2O}





5) Oxidação e redução seletivas



Considere-se um minério de Cu hipotético contendo NiO, MnO, MgO, CaO e Cu₂O como principal constituinte.

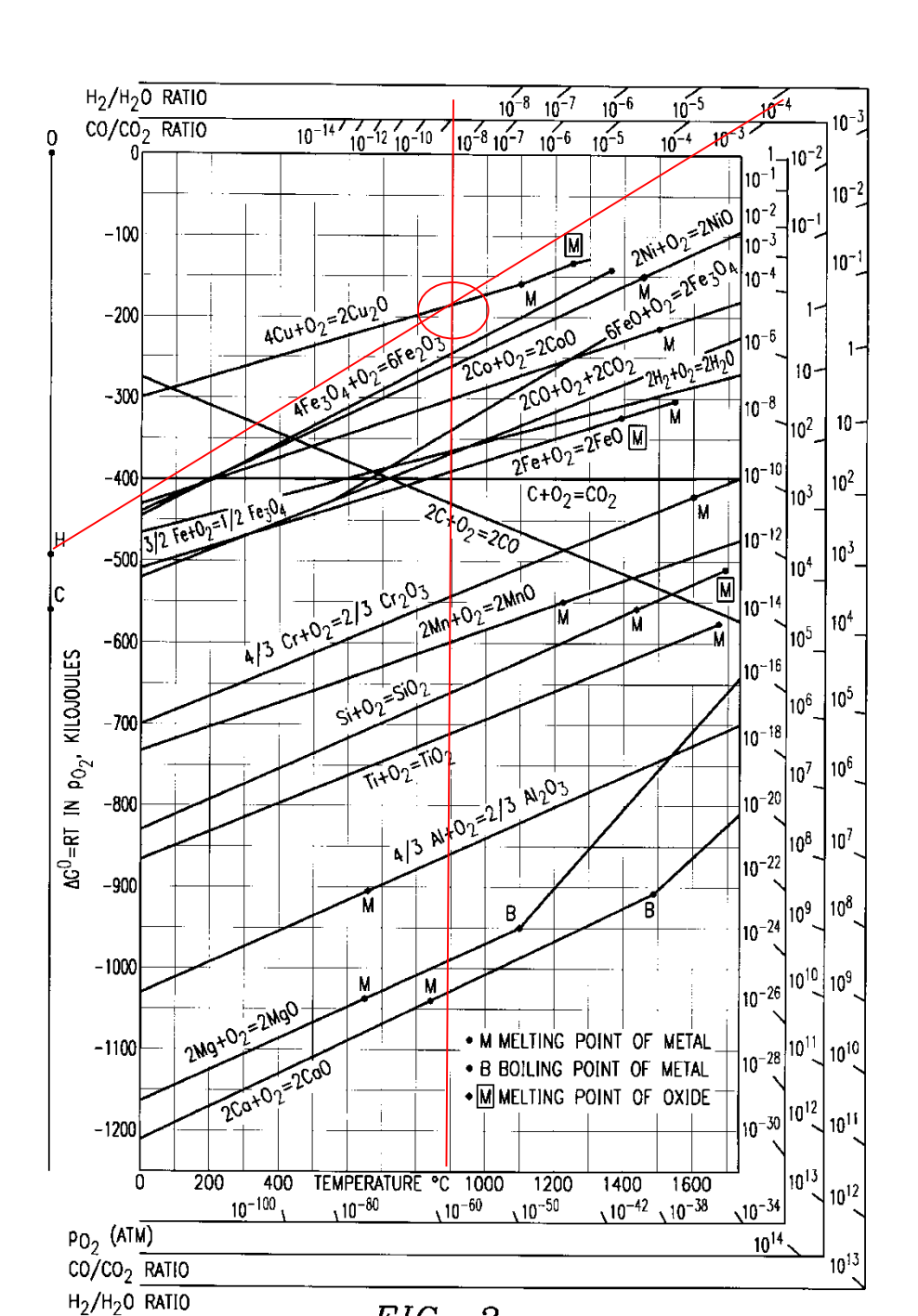
Se Alumínio for utilizado como redutor deste minério, o cobre resultante da redução estará contaminado com Ni e Mn porque Al é redutor em relação aos óxidos Cu₂O, NiO e MnO;

CaO e MgO não serão reduzidos porque estes óxidos são mais estáveis que Al₂O₃. Assim, CaO e MgO resultarão como componentes da escória do processo de redução



Qual a quantidade máxima de água que pode ser tolerada numa atmosfera de H₂ usada para prevenir a oxidação de amostras de cobre a 900°C?





•
$$p_{H2}/p_{H2O} = 10^{-4}$$

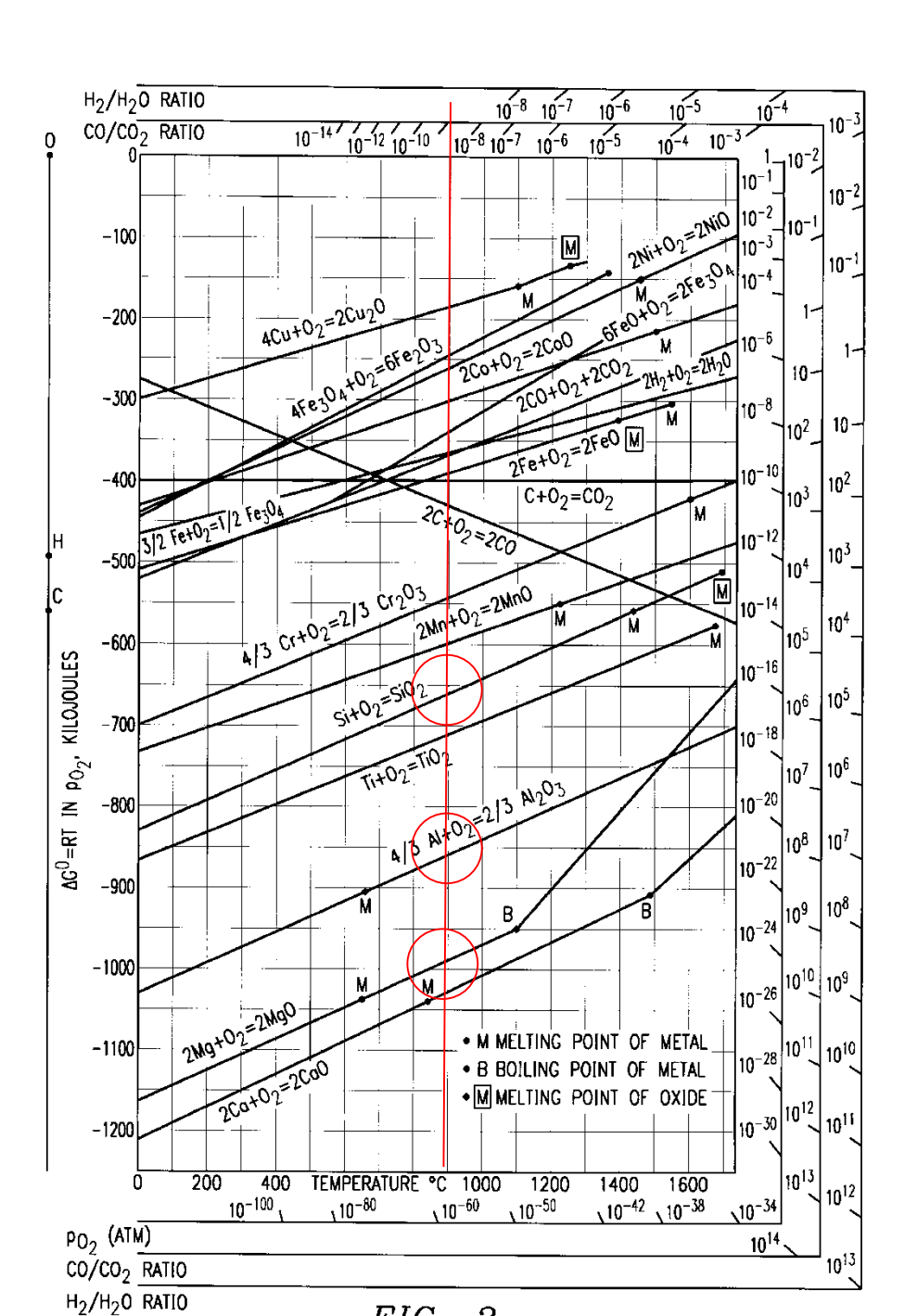
$$p_{H2O} = 10^{4}x(1 - p_{H2O})$$

$$p_{H2O} = 1$$



Magnésia (MgO) e quartzo (SiO₂) são materiais muito utilizados na confecção de cadinhos. Em que cadinho guardaria alumínio a 900°C para que não oxide?

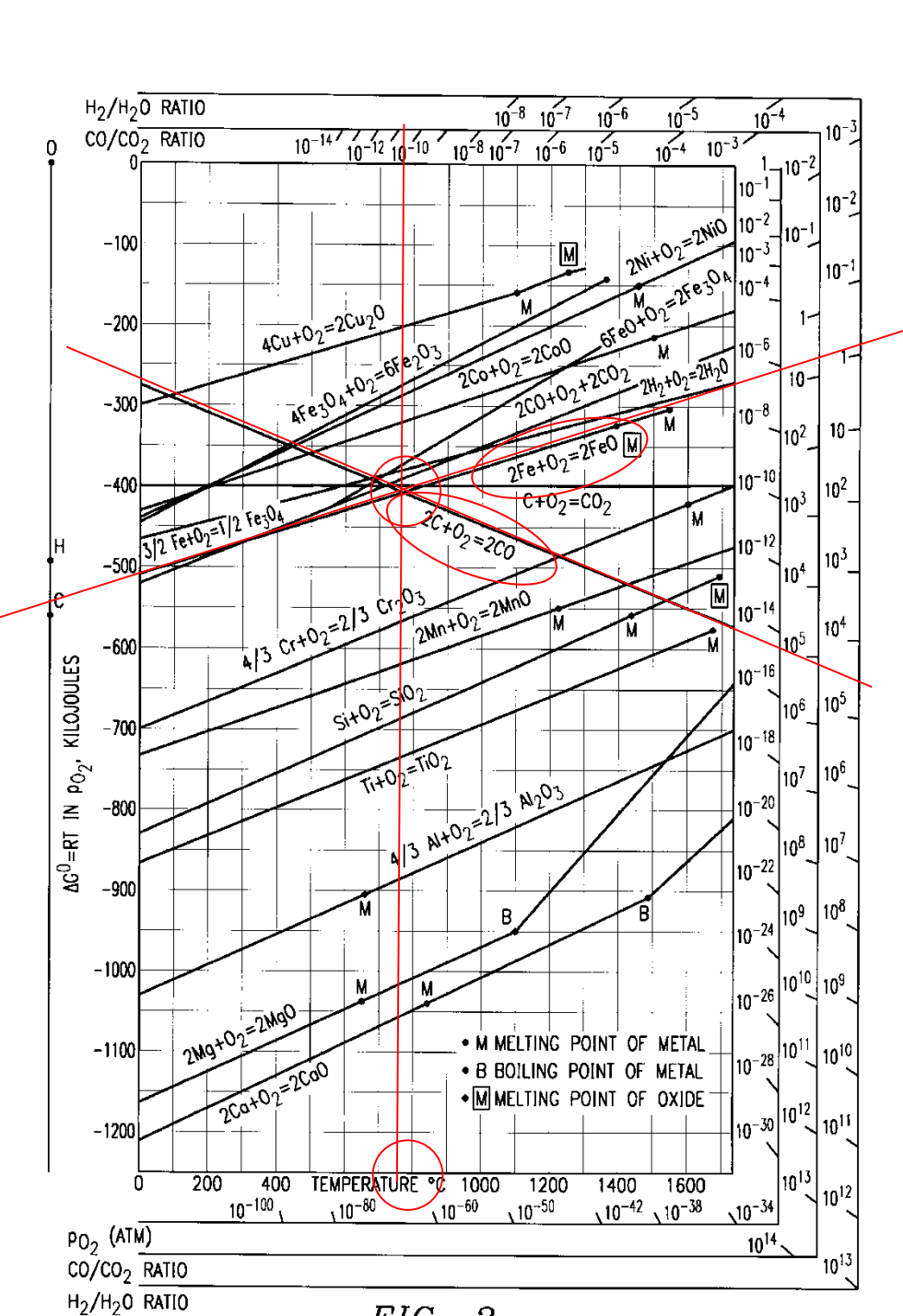






Determine a temperatura na qual é termodinamicamente possível o carbono reduzir oxido de ferro para ferro na reação seguinte. FeO + C = Fe + CO







(para casa)

- Quais são as condições para que ocorra a decomposição da sílica a 1500°C?
- 2. É possível a redução do MnO para Mn por carbono a 1200°C?
- Quais são as condições para que ocorra a redução do óxido de Zn por CO(g) a 1200°C



Para uma transformação de fase qualquer:

$$\mathbf{i}_{(\alpha)} = \mathbf{i}_{(\beta)}$$

No equilíbrio:

$$\mathbf{G}(\alpha) = \mathbf{G}(\beta)$$

$$dG_{(i)} = -S_{(i)}.dT + V_{(i)}.dP \Rightarrow$$

$$\Rightarrow -S_{(\alpha)}.dT + V_{(\alpha)}.dP = -S_{(\beta)}.dT + V_{(\beta)}.dP$$



$$\left(\frac{\mathrm{dP}}{\mathrm{dT}}\right)_{\mathrm{eq}} = \frac{S_{(\beta)} - S_{(\alpha)}}{V_{(\beta)} - V_{(\alpha)}} = \frac{\Delta S_{(\alpha \to \beta)}}{\Delta V_{(\alpha \to \beta)}}$$

$$\frac{dP}{dT} = \frac{\Delta H}{T.\Delta V}$$

 $1cal = 41,293 atm.cm^3$

Volume molar



$$V_{cond} << V_{vapor}$$
 $\Delta V \cong V_{vapor}$

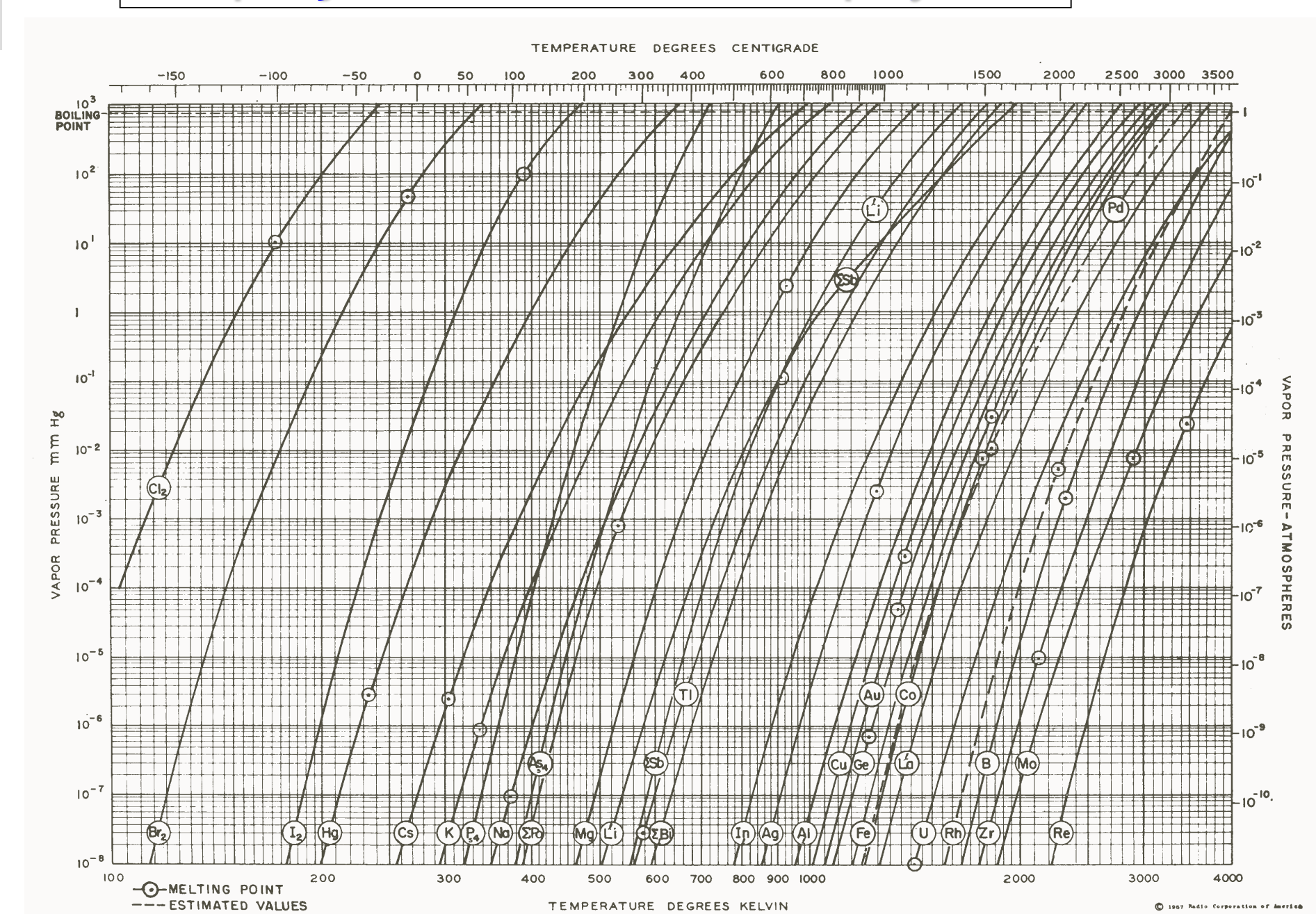
$$(\frac{dP}{dT})_{eq} = \frac{P.\Delta H}{R.T^2} \Rightarrow$$

$$\Rightarrow \frac{dP}{P} = \frac{\Delta H}{R.T^2}.dT \Rightarrow$$

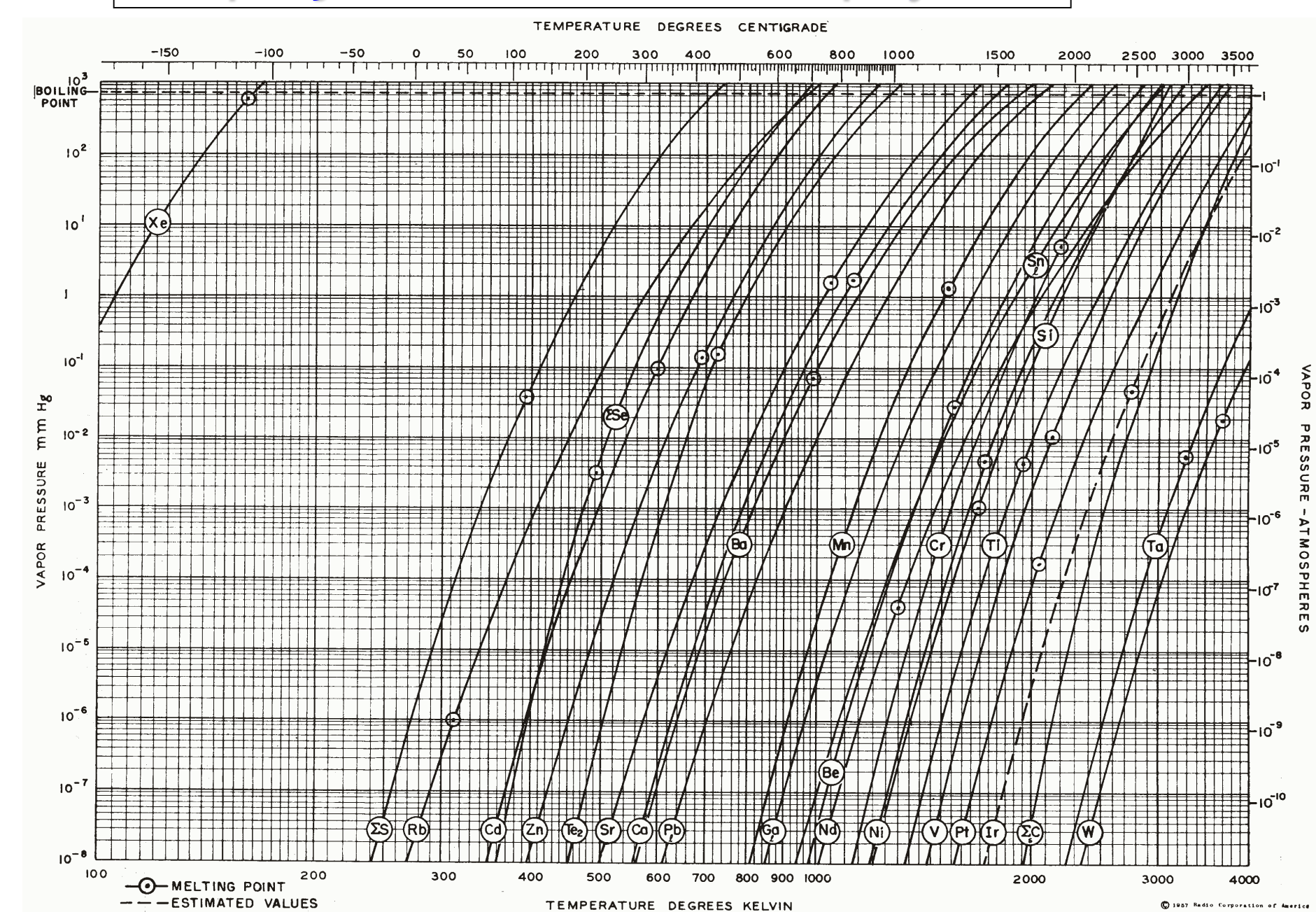
$$\Rightarrow dlnP = \frac{\Delta H}{R.T^2}.dT$$

$$logP = \frac{A}{T} + B.logT + C$$











A 1 atm de pressão o sódio funde a 97,8°C (370,95K). O calor de fusão é igual a 630 cal/atg e o aumento de volume específico é de 0,0279 cm³/g. Calcular o ponto de fusão do sódio a 10 atm. [44] DADOS: $M_{Na} = 23$ g/atg; 1 cal = 41,293 atm x cm³;

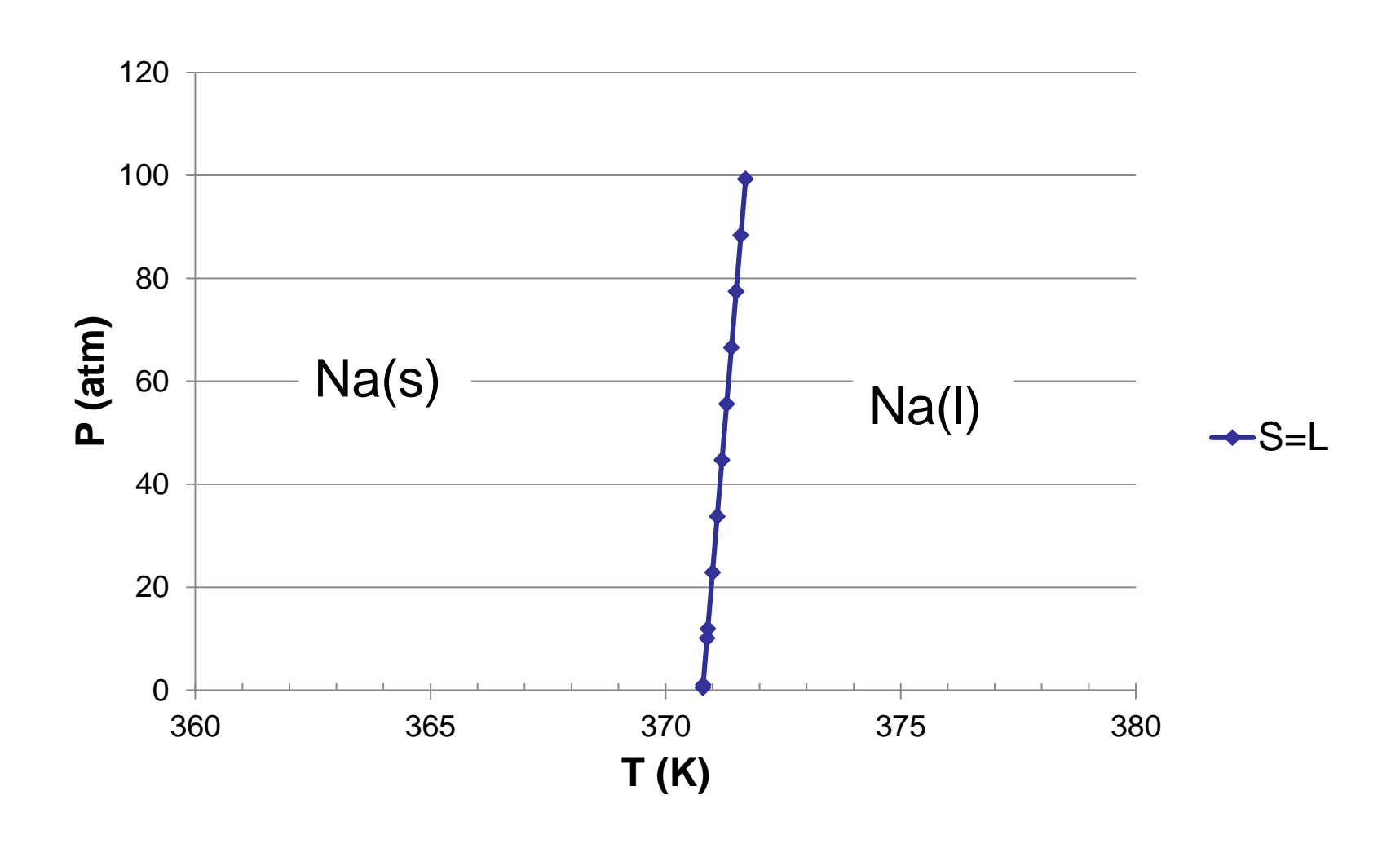
$$\Delta V = 0.0279x23 = 6.42x10^{-1} cm^{3}/atg$$
$$dP = \frac{630.dT.41,293}{6.42x10^{-1} T}$$

$$\int_{1}^{10} dP = 40540, 1. \int_{370,8}^{T} \frac{dT}{T} : (10 - 1) = 40540, 1x(lnT - ln370,8)$$

$$T = 370,88K \equiv 97,88^{\circ}C$$

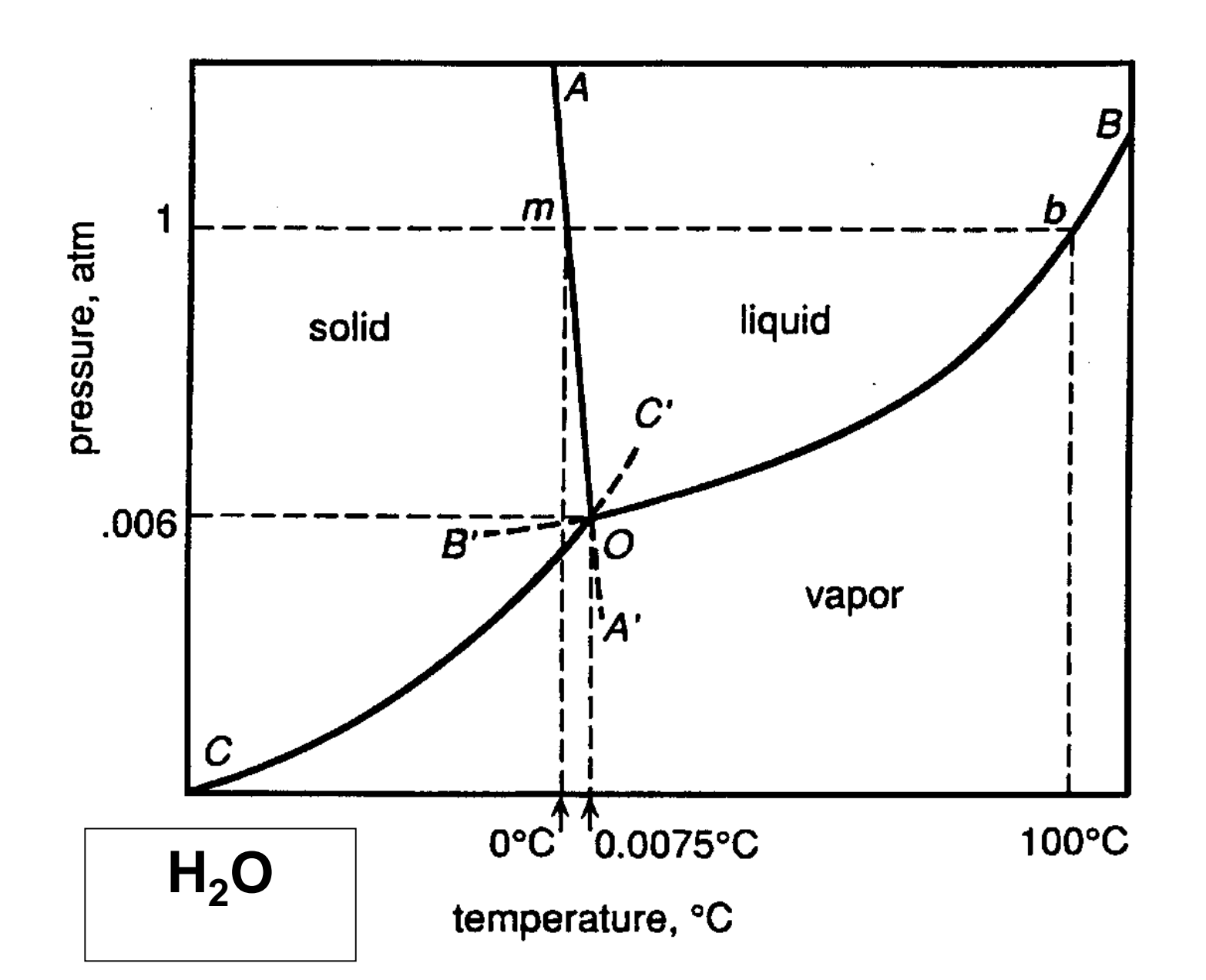


Equilíbrio $Na_s = Na_l$

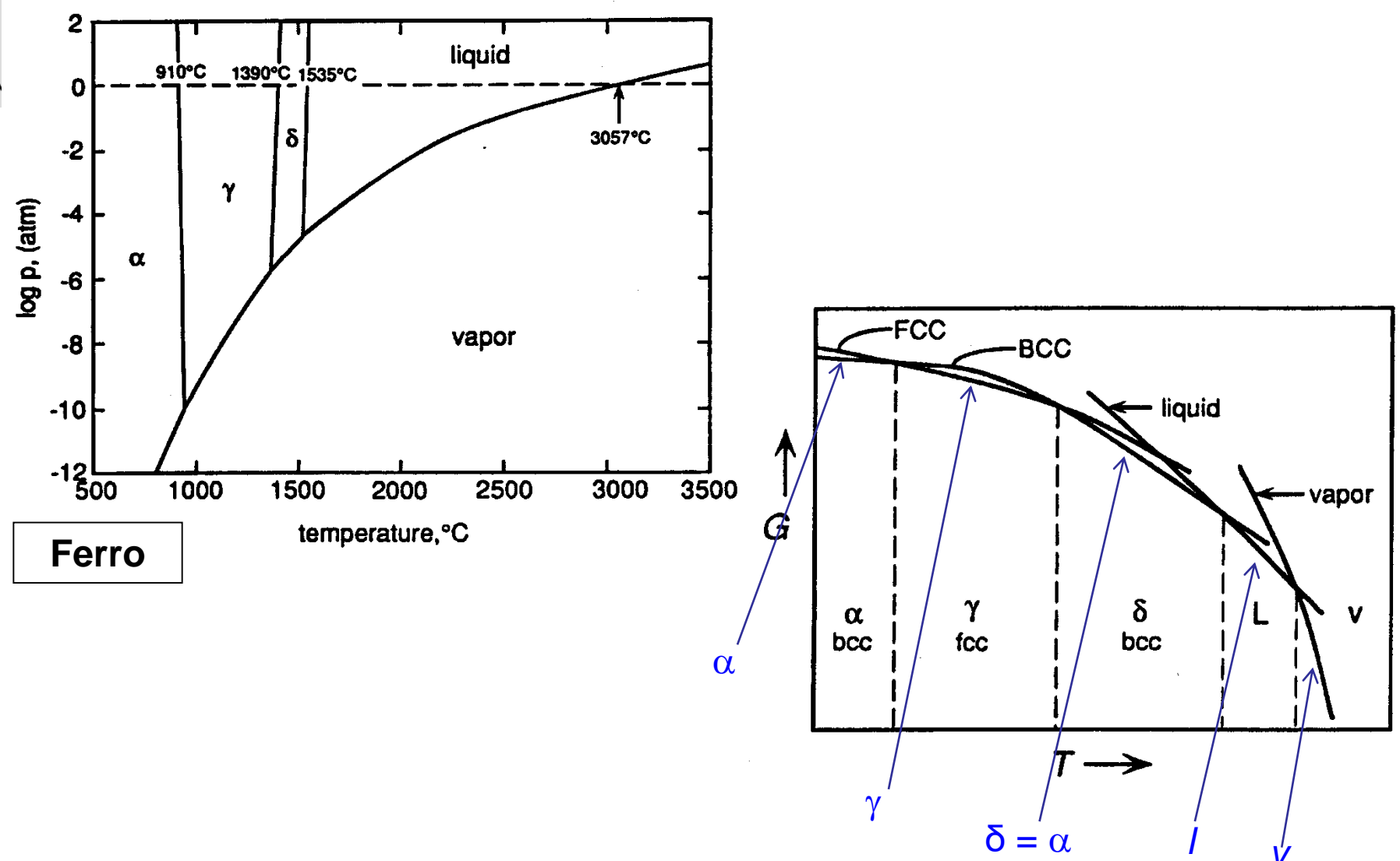




Diagramas de Equilíbrio Unários









 O carbono tem duas alotropias, grafita e diamante. A 25°C e 1 atm de pressão, a grafita é a fase estável. Calcule a pressão que deve ser aplicada à grafita a 25°C de maneira a transformá-la em diamante.

Dados: $H_{298,grafita} - H_{298,diamante} = -1900$ J/mol; $S_{298,grafita} = 5,73$ eu; $S_{298,diamante} = 2,43$ eu; $\rho_{25^{\circ}C,drafita} = 2,22$ g/cm³; $\rho_{25^{\circ}C,diamante} = 3,515$ g/cm³

Para a transformação grafite=diamante a 298K:

$$\Delta G = \Delta H - T\Delta S = 1900-298x(2,43-5,73) = 2883J$$

Para a mesma transformação em qualquer temperatura:

$$\left(\frac{\partial \Delta G_{g \to d}}{\partial P}\right)_T = \Delta V_{g \to d} = \frac{12}{3,515} - \frac{12}{2,22} = -1,99 \frac{cm^3}{mol}$$

Como o equilíbrio entre a grafita e o diamante implica num ∆G=0:

$$\Delta G(P, 298K) = \Delta G(1atm, 298K) + \int_{1}^{P} \Delta V dP = 2883 + (-1,99x0,1013)x(P-1)$$

$$\therefore P = 14302, 52 \text{ atm}$$

1cm³.atm=(8,3144/82,057)=0,1013J



- As densidades do Bi líquido e sólido são 10,0 e 9,673 g/cm³, respectivamente. O calor de fusão é de 2,633 kcal/mol e sua temperatura normal de fusão de 271° C. Calcule o ponto de fusão do Bi se submetido a uma pressão de 100 atm. [45]
- 2. O calor de vaporização do Mn é 53,7 kcal/mol, seu pto ebulição é 2095° C. Determinar a pressão de vapor do Mn a 1600° C. O que aconteceria com a pressão de vapor do Mn se ele estivesse em solução? [47]
- 3. Deseja-se aumentar o ponto de fusão do In (Índio) em 5° C. Mostre, qualitativamente, o que deve ser feito sabendo que a densidade do líquido é menor que a do sólido.
- 4. O ponto de fusão do Ga é de 30° C a 1 atm. As densidades do Ga sólido e líquido são 5,885 e 6,08 g/cm³, respectivamente. O calor de fusão do Ga é de 18,5 cal/g. Calcule a variação do ponto de fusão do Ga quando a pressão é aumentada em 1 atm. [48] (para casa)



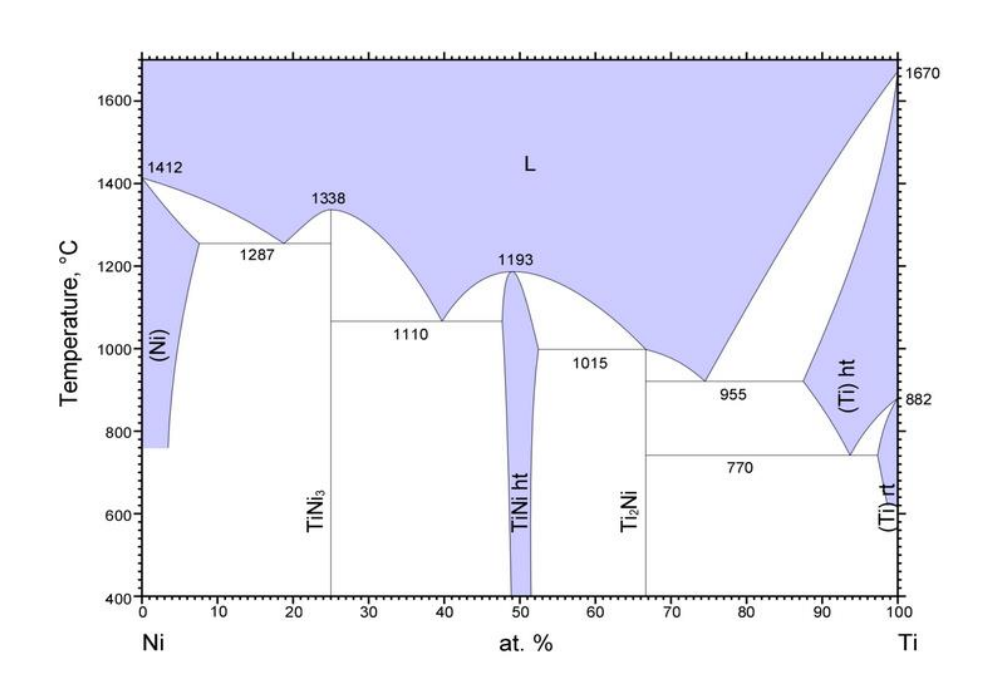
- A pressão de vapor do Zn sólido varia com a temperatura pela equação: log[p(mmHg)]=-6850/T-0,755logT+11,24 e a do líquido pela equação: log[p(mmHg)]=-6620/T-1,255logT+12,34. Calcule:[46]
 - O ponto normal de ebulição;
 - A temperatura do ponto triplo;
 - A entalpia de evaporação no ponto normal de ebulição; (27340 cal/mol)
 - A entalpia de fusão no ponto triplo; (1756 cal/mol)
 - A diferença entre as capacidades térmicas do sólido e do líquido. (0,993 cal/mol.K)
- A pressão de vapor do NaF sólido varia com a temperatura pela equação: ln[p(atm)]=-34450/T-2,01lnT+33,74 e a do líquido pela equação: ln[p(atm)]=-31090/T-2,52lnT+34,66. Calcule:
 - O ponto normal de ebulição; (2006K)
 - A temperatura e a pressão do ponto triplo; (1239K; 2,29x10⁻⁴ atm)
 - A entalpia de evaporação no ponto normal de ebulição; (216.500J)
 - A entalpia de fusão no ponto triplo; (33.150J)
 - A diferença entre as capacidades térmicas do sólido e do líquido. (4,24 J/mol.K) [97](para casa)

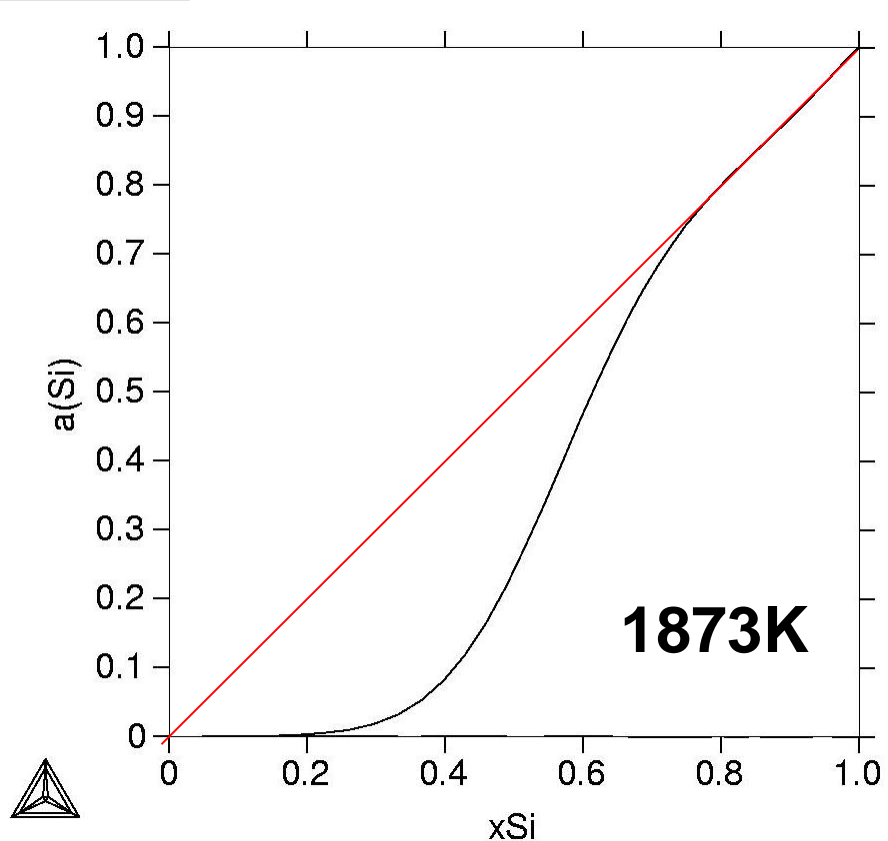


TERMODINÂMICA DAS SOLUÇÕES

Solução real

- Interação de <u>atração</u> (interação forte)
- Fe-Si, Fe-Al, Al-Ca, Cu-Ge, Ni-Ti, Si-Ti,...
- Tendência de formação de fases intermediárias



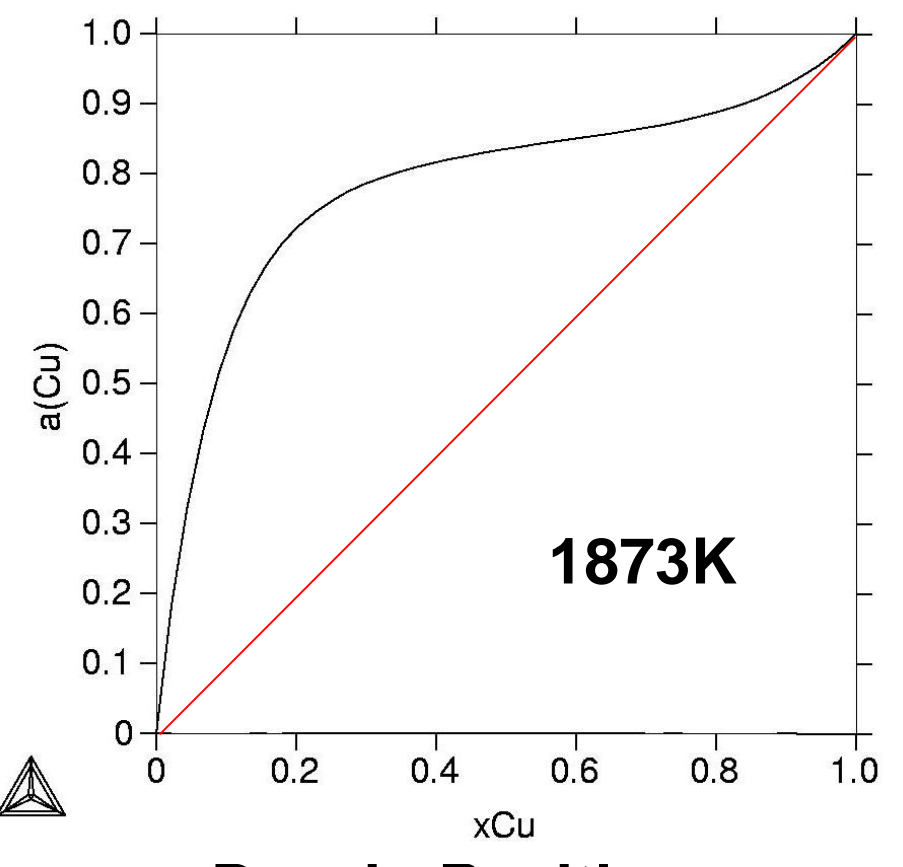


Desvio Negativo: $a_i < x_i$



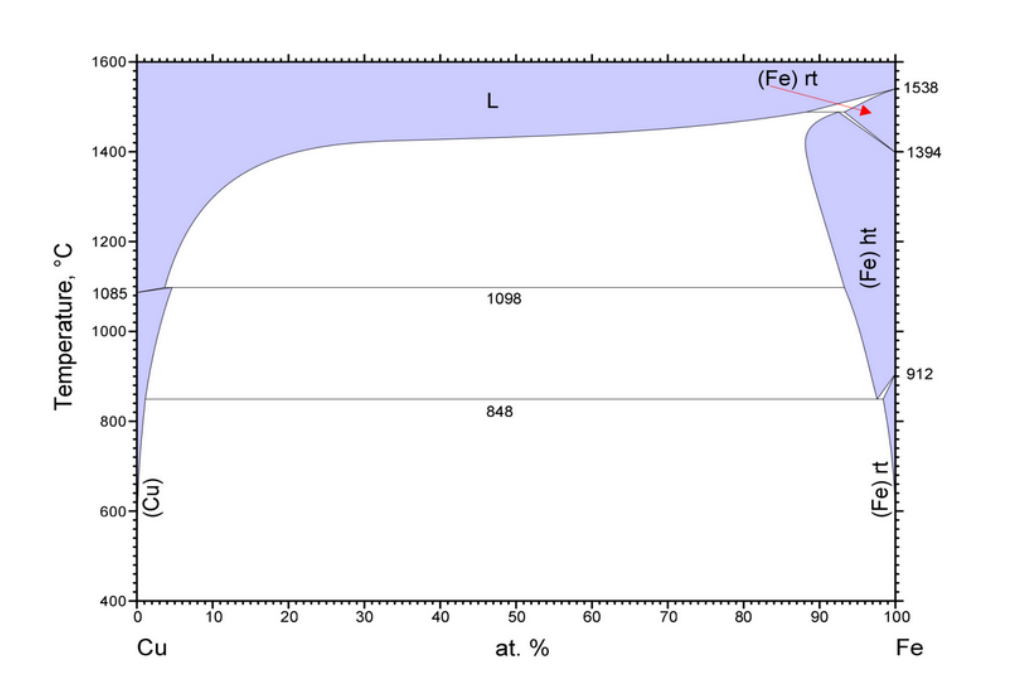
TERMODINÂMICA DAS SOLUÇÕES

Solução real



Desvio Positivo: $a_i > x_i$

- Interação de "<u>repulsão</u>" (interação fraca)
- Fe-Cu, Fe-Pb, Fe-Ca, Cu-V, Al-Bi, Ni-Mo, Si-Ge...
- Diminui o campo de miscibilidade



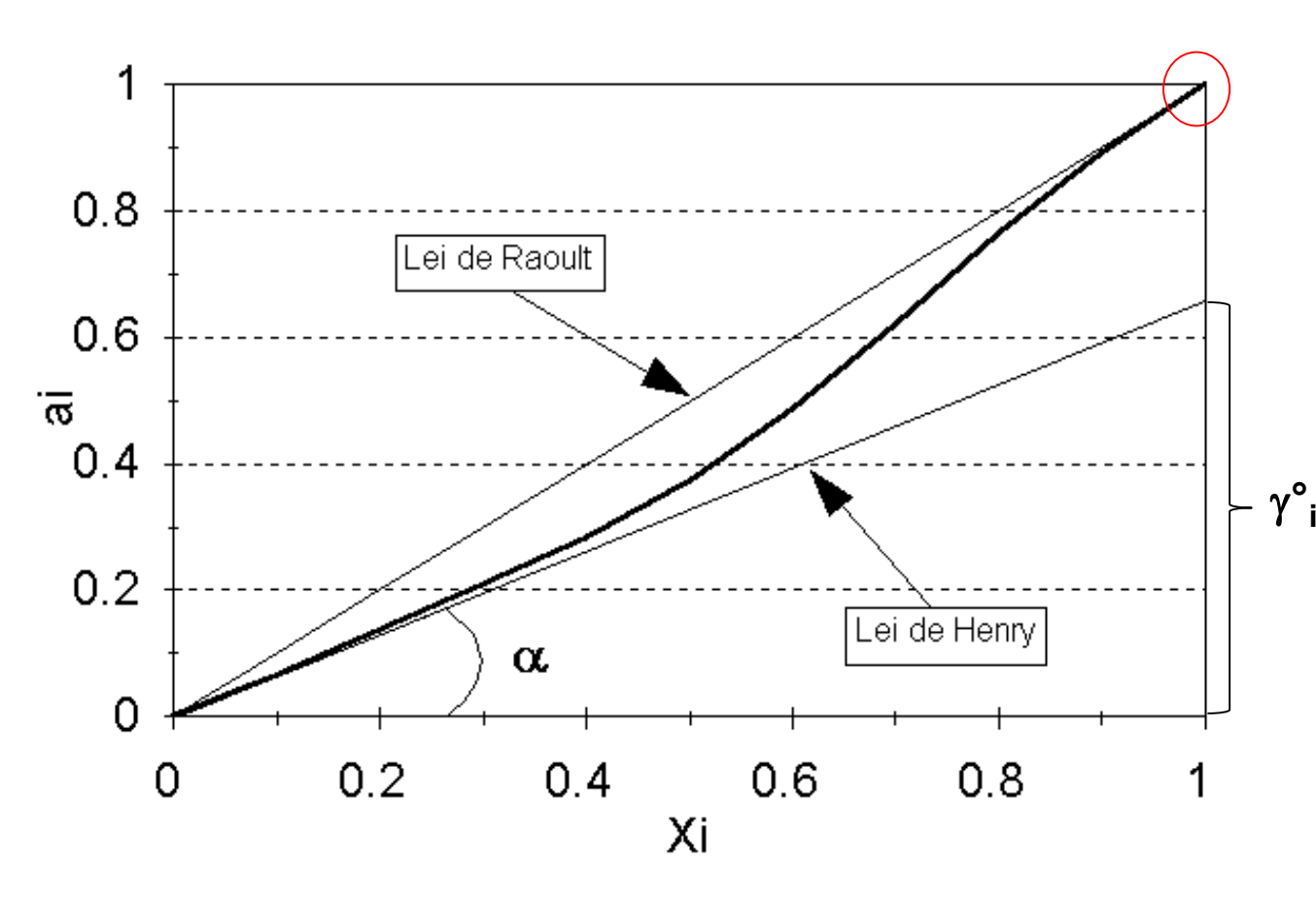
METMAT

TIPOS DE SOLUÇÃO

- Do ponto de vista tecnológico não é possível ter em mãos informações detalhadas de todos os sistemas
- Considerando que a maioria dos sistemas de interesse são soluções diluídas
 - Modela-se somente o trecho inicial da curva de atividade
 - Tangente em $x_i = 0$
 - Consequência: há somente 1 ponto em comum (x_i=0)
 - Diferenças: são absorvidas tecnologicamente
- A concentração de referência <u>continua sendo</u> <u>raoultiana (x_i=1)</u>



TIPOS DE SOLUÇÃO



$$a_i = \gamma^{\circ}_i \cdot x_i$$

Lei de Henry

$$tg\alpha = \gamma^{\circ}_{i}$$

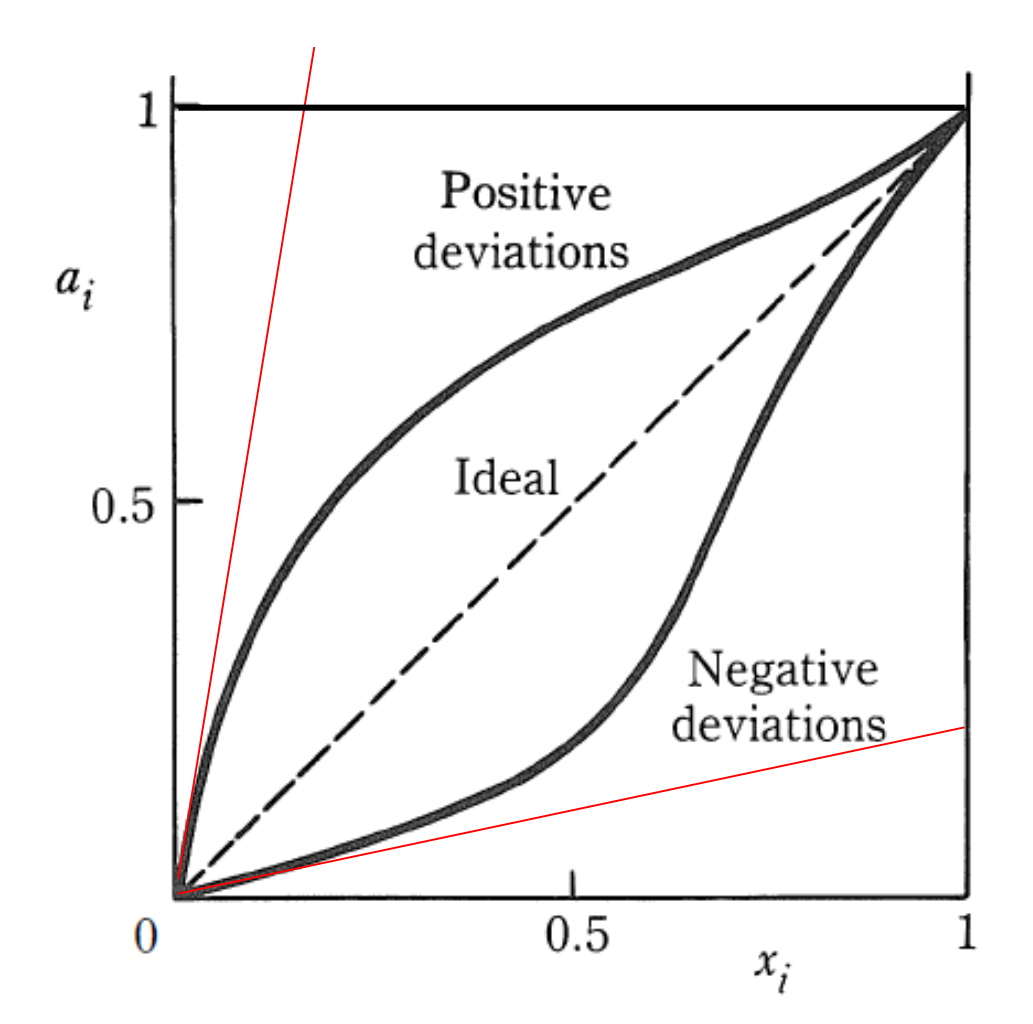
$$(em x_{i} = 0)$$

γ_i coeficiente <u>raoultiano</u> de atividade

1803: Willian Henry, para descrever a solubilidade dos gases em líquidos



TIPOS DE SOLUÇÃO



SOLUÇÃO/DESVIO	γ° _i
real/positivo	>1
Ideal	1
real/negativo	<1



TERMODINÂMICA DAS SOLUÇÕES

Fe líquido a 1600°C (há para Ni, Co, Al, Cu,...)

